

- [3] Гилинский И.А., Щеглов И.М. Препринт № 17. Новосибирск. ИФП СО АН СССР. 1987.
- [4] Ден Жен П.Ж. Сверхпроводимость металлов и сплавов. М.: Мир. 1968.
- [5] Горьков Л.П., Элиашберг Г.М. // ЖЭТФ. 1968. Т. 54. В. 2. С. 612-626.
- [6] Царевский С.Л. // ЖЭТФ. 1987. Т. 92. В. 5. С. 1903-1910.
- [7] Суху Р. Магнитные тонкие пленки. М.: Мир. 1967.
- [8] Филиппов Б.Н. Препринт № 80/1. Свердловск. ИФМ УНЦ АН СССР. 1980.

Институт радиотехники  
и электроники АН СССР

Поступило в Редакцию  
6 апреля 1989 г.

Письма в ЖТФ, том 15, вып. 11

12 июня 1989 г.

11; 12

## ОПРЕДЕЛЕНИЕ СОСТАВА ЭПИТАКСИАЛЬНЫХ ПЛЕНОК ФЕРРИТ-ГРАНАТОВ МЕТОДОМ РОР

Е.Ю. Боярко, И.Е. Буркова,  
И.В. Евдокимов, О.Н. Дикарев,  
Ю.Ю. Крючков, В.М. Малютин

За последние десятилетия оптические системы связи завоевали прочное место на мировом рынке. Этот успех обусловлен развитием и внедрением разнообразной по функциональным возможностям элементной базы, особое место в которой занимают устройства на основе магнитооптических явлений. В первую очередь к ним относятся оптические вентили, циркуляторы и переключатели. Эти устройства объединяет наличие фарадеевского элемента, изготавливаемого с помощью прогрессивной технологии эпитаксиального выращивания монокристаллических пленок, замещенных редкоземельными элементами феррит-гранатов иттрия. Такая технология позволяет синтезировать эпитаксиальные структуры с заранее заданными магнитооптическими характеристиками. Однако для прогнозирования этих характеристик необходимо точно определять и контролировать состав пленок.

В данной работе изучалась возможность использования метода обратного резерфордовского рассеяния ионов (РОР) для определения состава эпитаксиальных пленок феррит-гранатов и их однородности по глубине. Экспериментальные исследования проводились на циклотроне У-120 НИИ ЯФ при Томском политехническом институте. В качестве анализирующего использовался пучок ионов  $^{4}\text{He}^{+}$  с энергией  $E_0 = 4.5\text{-}5 \text{ МэВ}$  и энергетическим разбросом в пучке

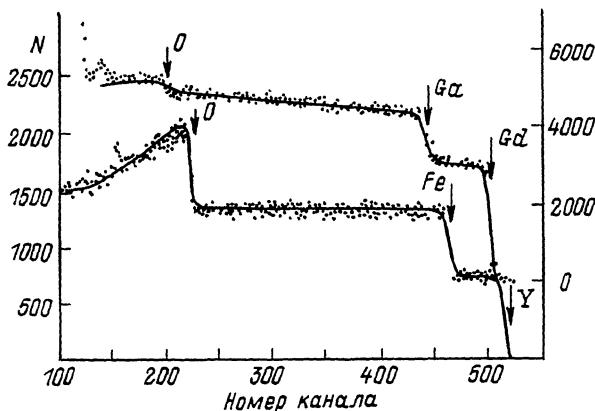


Рис. 1. Экспериментальные (точки) и моделированные (сплошные линии) спектры РОР для монокристаллов  $Y_3Fe_5O_{12}$  (нижний) и  $Gd_3Ga_5O_{12}$  (верхний). Стрелками отмечены каналы, соответствующие рассеянию с поверхности на указанных элементах.

1%. Угол рассеяния составлял  $\theta = 170^\circ$ . Выбор угла рассеяния и энергии обусловлен улучшением массового разрешения метода с ростом  $\theta$  и  $E_0$ , что позволило значительно повысить информативность экспериментальных спектров. Для исключения возможности влияния каналирования на форму энергетического спектра обратно рассеянных частиц образцы во время проведения эксперимента врашали вокруг направления  $\langle 111 \rangle$ .

На рис. 1 приведены экспериментальные спектры монокристаллов иттриевого феррит-граната ( $Y_3Fe_5O_{12}$ ) и галлий-гадолиниевого граната ( $Gd_3Ga_5O_{12}$ ), использовавшихся в качестве эталонных образцов. Из рисунка видно, что „ступеньки“ парциальных спектров хорошо выделяются для всех элементов, что важно при проведении многоэлементного анализа. Сечение упругого рассеяния на ядрах тяжелых элементов в данном случае аналитически описывается формулой Резерфорда с поправкой на экранирование, т.к. кулоновский барьер взаимодействия выше энергии падающих ионов, а сечение упругого рассеяния на ядрах кислорода носит уже нерезерфордовский характер, о чем свидетельствует форма соответствующего парциального спектра. Это создавало некоторые трудности при интерпретации экспериментальных данных, но позволило повысить чувствительность в определении наиболее легкой компоненты – кислорода, т.к. при  $E = 4.5$  МэВ  $\delta/\delta_{Rutherford} = 2.5$ , а при  $E = 4.95$  МэВ  $\delta/\delta_{Rutherford} = 9.1$  [1].

Для обработки экспериментальных данных использовался компьютерный анализ спектров, в основе которого лежит методика моделирования спектра РОР для заданных параметров модели образца и последующего его сравнения с экспериментальным по критерию

совпадения площади как на отдельных выделенных участках („ступенях“), так и в области перекрывающихся участков спектра. За окончательный вариант модели образца принимается тот, для которого модельный спектр совпал с экспериментальным с заданным критерием согласия. Для алгоритмизации процесса подгонки спектров использовалось соотношение  $H_i^{\text{эксп}} - H_i^{\text{мод}} \sim \Delta x_i$ , и новое значение относительной атомной доли  $i$ -й компоненты задавалось в виде  $x_i^{(n)} = x_i^{(0)} + \Delta x_i$ . Энергетический спектр POP генерируется в приближении однократного рассеяния с использованием аналитических выражений для энергии рассеяния [2] и полуэмпирических формул для вычисления тормозных способностей [3]. Методика учитывает влияние на форму спектра страгглинга энергетических потерь ионов в образце, многократного рассеяния ионов, экранирования ядра электронами (поправка к сечению резерфордовского рассеяния), а также конечного энергетического разрешения спектрометрического тракта и нелинейности энергетической шкалы анализатора. Сечения рассеяния ионов ядрами легких элементов корректируются на основе табулированных значений соотношения  $G/Gruth$  в заданном диапазоне энергий. Дополнительно в процедуру анализа спектров включена предварительная обработка экспериментальных данных, необходимая для создания исходной модели образца, в основу которой положен метод обратной итерации, когда все парциальные спектры информационно значимы.

Анализ эталонных образцов позволил проверить работоспособность методики моделирования с коррекцией сечений рассеяния на ядрах кислорода. Моделированные спектры для составов  $Y_3Fe_5O_{12}$  и  $Gd_3Ga_5O_{12}$  также представлены на рис. 1. Получено хорошее согласие с экспериментальными данными: достигнут критерий совпадения площадей 0.5%, а величина стандартного отклонения (СО), характеризующая степень близости формы моделированного и экспериментального спектров, оказалась не хуже  $5 \cdot 10^{-3}$  по всему спектру.

На следующем этапе был проведен анализ эпитаксиальных феррит-гранатовых пленок с исходными стехиометрическими формулами:  $Bi_{0.6}Y_{2.4}Ga_{1.1}Fe_{3.9}O_{12}$  и  $Y_3Fe_5O_{12}$ . На рис. 2 приведены экспериментальные спектры POP, полученные для этих образцов. „Ступеньки“ парциальных спектров хорошо выделяются для всех элементов кроме  $Ga$ , что обусловлено его низким содержанием. Поэтому точность определения содержания  $Ga$  ниже по сравнению с другими элементами. Моделированный спектр для состава  $Bi_{0.6}Y_{2.4}Ga_{1.1}Fe_{3.9}O_{12}$  (кривая А) не удовлетворяет заданному критерию согласия. В качестве оптимального с точки зрения соответствия площадей и величины СО для данного образца был определен равномерный по глубине состав:  $Bi_{0.5}Y_{2.5}Ga_{0.8}Fe_{4.2}O_{12}$  (кривая Б). Анализ второй пленки показал наличие в ее составе неконтролируемой технологической примеси  $Pt$ . С помощью метода обратной итерации найдена начальная модель образца с содержанием  $Pt$  0.09 формульных единиц. Последующие расчеты показали, что экспериментальный спектр хорошо описывается спектром, смоделированным для равномерного по глубине состава

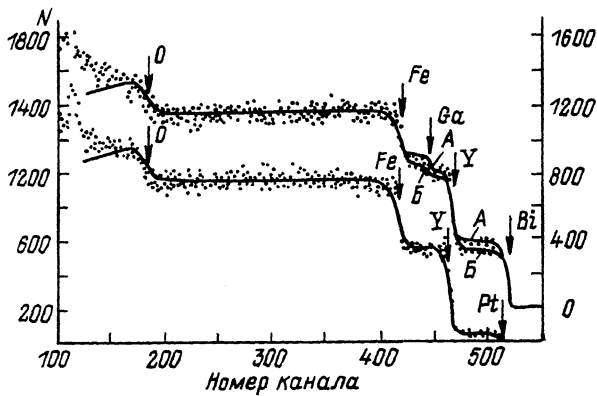


Рис. 2. Экспериментальные (точки) и моделированные (сплошные линии) спектры РОР для эпитаксиальных пленок с исходными составами  $Y_3Fe_5O_{12}$  (нижний) и  $Bi_{0.6}Y_{2.4}Ga_{1.1}Fe_{3.9}O_{12}$  (верхний). Стрелками отмечены каналы, соответствующие рассеянию с поверхности на указанных элементах.

$Pt_{0.07}Y_{2.93}Fe_5O_{12}$ . Для пленок феррит-гранатов было достигнуто совпадение площадей 1%, а величина СО составила  $5 \cdot 10^{-3} - 10^{-2}$ . Глубина анализа пленок методом РОР составляла 0.8–1 мкм.

Таким образом, использование метода РОР в сочетании с математическим моделированием позволило определить основной относительный атомный состав эпитаксиальных пленок, определить содержание неконтролируемых технологических примесей тяжелых элементов и их распределение по глубине. Необходимо отметить, что массовое разрешение метода РОР ухудшается с ростом А, поэтому при проведении анализа состава феррит-гранатовых пленок, содержащих атомы двух и более тяжелых элементов ( $Bi, Pt, Pb, Au$  и т.д.), необходимо наряду с РОР использовать и другие методы неразрушающего анализа для идентификации этих элементов.

#### Список литературы

- [1] Leavitt J.A., Stoss P., Cooper D.B., et al. // Nucl. Inst. & Meth. 1986. V. 15. P. 296–299.
- [2] Chu W.K., Ziegler J.F. // J. Appl. Phys. 1975. V. 46. P. 2768.
- [3] Ziegler J.F. Helium Stopping Powers and Range in All Elements. Pergamon Press. Oxford, 1977.

Научно-исследовательский институт  
ядерной физики при Томском  
политехническом институте  
им. С.М. Кирова

Поступило в Редакцию  
11 апреля 1989 г.